

## Utjecaj pripreme slikarskog platna na modul elastičnosti i prekidna svojstva pri djelovanju vlačne sile

Prof.dr.sc. **Željko Penava**, dipl.ing.

Prof.dr.sc. **Diana Šimić Penava**, dipl.ing.<sup>1</sup>

**Marijana Tkalec**, dipl.ing.

Tekstilno-tehnološki fakultet Sveučilišta u Zagrebu

Zavod za projektiranje i menadžment tekstila

<sup>1</sup>Sveučilište u Zagrebu Građevinski fakultet

Zavod za tehničku mehaniku

Zagreb, Hrvatska

e-mail: zeljko.penava@ttf.hr

Prispjelo 3.10.2014.

UDK 677.074.017

Izvorni znanstveni rad

*Slikarska platna su naslojene tkanine čija su mehanička svojstva značajno poboljšana u odnosu na temeljni nosivi tekstilni materijal. U radu će biti prikazano eksperimentalno ispitivanje i određivanje mehaničkih svojstava slikarskog platna. Ispitana su četiri uzorka koji su izrezani pod kutovima 0°, 15°, 30°, 45°, 60°, 75° i 90° u odnosu na smjer potke. Tkanine su mjerene prije premaza i nakon jednog, dva i tri premaza. Istraživane su vrijednosti prekidne sile, prekidnog istezanja, prekidnog suženja, rada do prekida, modula elastičnosti i stupnja anizotropije naslojenih tekstilnih plošnih materijala. Dokazano je da se s povećanjem broja nanesenih slojeva povećavaju vrijednosti prekidne sile, prekidnog istezanja, rada do prekida i moduli elastičnosti, a istodobno se smanjuju koeficijenti anizotropije. Naslojenom materijalu koji ima više nanesenih slojeva se smanjuju anizotropna svojstva, a povećavaju izotropna svojstva. U radu se uspoređuju eksperimentalne i teorijske vrijednosti modula elastičnosti, te se njihova razlika smanjuje s porastom broja slojeva.*

**Ključne riječi:** anizotropija, prekidna sila, prekidno istezanje, modul elastičnosti, slikarsko platno

### 1. Uvod

Tekstilni materijali (tkanine, pletiva, netkani tekstil) općenito su nehomogeni, anizotropni i diskontinuirani objekti. Danas primjena tekstilnih materijala u različitim industrijskim granama sve više raste, posebno kao kompozitnih materijala, te je poznavanje njihovih fizikalno-mehaničkih svojstava vrlo važno. Da bi se tekstilnim materijalima značajno poboljšala

prvobitna mehanička svojstva, na temeljni nosivi tekstilni materijal se nanose jednostrano ili dvostrano u jednom ili više slojeva određeni premazi. Tako se dobije naslojeni tekstilni plošni proizvod koji ima značajno poboljšana svojstva u odnosu na prvobitni temeljni materijal i može se koristiti za posebne namjene. Naslojavanjem tkanina postaje kruća. Premaz ima svoja specifična svojstva i ispunjava prostore između niti i „ce-

mentira“ osnovu i potku u jednu cjelinu. Mehanička svojstva niti su promijenjena, a rotacija između niti je spriječena.

Ispitivanja naslojenih tekstilnih materijala odnose se na njihova fizikalno-mehanička svojstva: naprezanje, deformaciju, prekidnu silu, prekidno istezanje, modul elastičnosti, nepropusnost.

Dosadašnja istraživanja vezana za mehanička svojstva slikarskog platna

nisu opsežna zbog složenosti problema i ne daju sustavne podatke o tim svojstvima [1-4]. Zbog toga jer je teško dobiti ponovljive podatke mjerjenja zbog inherentne stohastičke prirode slikarskog platna.

Slikarsko platno se može definirati kao kompozitna struktura koja se sastoji od niza heterogenih polimernih slojeva. Strukturna svojstva tkanog materijala slikarskog platna su rezultat kombinacije mnogih čimbenika. To uključuje: broj vlakana pređe, vrstu vlakana, čvrstoću vlakana, veličinu vlakana i pređe, količinu uvijene pređe, gustoću tkanine u smjeru osnove i potke, vrste vezova, nabiranje, obrade tkanine nakon tkanja, obrade prije bojanja ili naslojavanja. Trenje između vlakana i na mjestima križanja vlakana, zakrivljenost i savojna svojstva pređe imaju utjecaj na svojstva tkanine. Interakcija između svih tih čimbenika utječe na konačno ponašanje tekstilnog materijala u dijagramu opterećenje - produženje pod djelovanjem vlačne sile i to u smjeru osnove i potke. Opisujući geometriju veza i mehanička svojstva pojedinih pređa, razvijeni su teorijski modeli za predviđanje mehaničkih svojstava materijala. Osnovni model koji podupire mnoge složenije modele koji se i danas koriste za ispitivanje i određivanje mehaničkih karakteristika, razvio je Pierce [5]. To su kasnije razrađivali Kawabata [6], Hearle i sur. [7], Greenwood [8] i Warren [9] kombinirajući geometrijsku i mehaničku analizu. Pan je dao realniju predviđanje čvrstoće tkanine uključujući interakciju pređe [10], a Kilby je tkani materijal tretirao kao laminat kontinuma [11] i model proširuje na nelinearan i uključuje ovisnost mehaničkih svojstava o vremenu, što je vrlo važno za realno modeliranje slikarskog platna. Također su provođena istraživanja tkanina u okviru vlaknima ojačanih kompozita [12]. Prilikom mjerjenja, na mehanička svojstva tkanina utječu nelinearna visokoelastičnost, trenje između vlakana, pređe i u tkanini, odstupanja između udaljenosti i u gustoći tkanine, geometrijske promje-

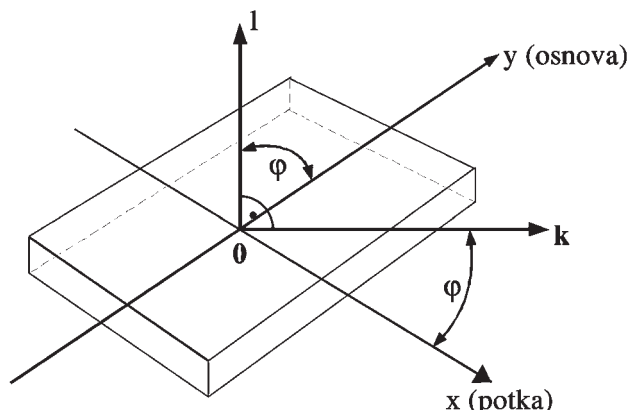
ne veza za vrijeme djelovanja vanjskih sila, te promjena temperature i vlažnosti [13]. Svojstva koja su značajna za slikarska platna su: anizotropija, nelinearno ponašanje krvulje naprezanje-deformacija, puzaњe, ranja opterećenja koja utječu na dijagram naprezanje-deformacija [14]. U sklopu konzervacije odnosno očuvanja, navedena svojstava predložena su kao relevantni čimbenici slikarskih platna [15-17]. Provedeno je vrlo malo detaljnih istraživanja koja mogu objasniti koje će se karakteristike pojaviti ili imati značajan utjecaj na ponašanje platna.

Kada se kut djelovanja vanjskog opterećenja (vlačna sila) mijenja, mijenjaju se i elastične konstante. Tom problematikom tijekom godina bavili su se mnogi istraživači i konstruirani su mnogi složeni mjerni sustavi za mjerjenje raznih mehaničkih karakteristika tkanina [18, 19]. Jednoosno istezanje je najrašireniji postupak ispitivanja i analize fizikalnih i mehaničkih svojstava tekstilnih proizvoda [20]. Najčešće se izvodi korištenjem bilo standardnih ili prilagođeno-dizajniranih instrumenata. Tekstilni plošni materijali se u pogledu strukturnih karakteristika definiraju kao elastične ortotropne ploče s dvije međusobno okomite ravnine elastične simetrije. Te ravnine elastične simetrije su ravnine ortotropije, a njihovi presjeci su glavne osi. Os x je u smjeru potke, a os y je u smjeru osnove, sl.1.

Teorijska analiza ponašanja tkanina zbog njenih anizotropnih svojstava je često vrlo složena, pa je eksperimentalna provjera teoretskih predviđanja kod njih važnija nego kod drugih materijala. Funkcionalna veza između naprezanja i deformacija ne može se odrediti teorijski, već samo eksperimentalno ispitivanjem uzorka izrađenih od određenog materijala. Izvest će se pokusi na rastezanje uzorka naslojene tkanine pri statičkom opterećenju. Pri tom ispitivanju dobije se najviše podataka o mehaničkim svojstvima materijala (tkanina). Ispitana je anizotropija sirovog slikarskog platna, slikarskog platna s izolacijom i preparacijom 1., 2. i 3. sloja u odnosu na mehanička svojstva: prekidnu silu, prekidno istezanje, prekidno suženje, rad do prekida i inicijalni modul elastičnosti pri različitim kutovima djelovanja vlačne sile.

## 2. Teorijske osnove anizotropnih materijala

Za opisivanje ovisnosti značajki čvrstoće koristi se Hookeov zakon za anizotropno ponašanje materijala kada vlačna sila djeluje u proizvoljnom smjeru, tj. kad se osi  $k$ ,  $l$  ne podudaraju s glavnim osima  $x$ ,  $y$  [21, 22], (sl. 1). Za elastične ortotropne materijale postoji izraz za izračunavanje modula elastičnosti  $E_\phi$  (kPa) kada sila istezanja djeluje na tkaninu u proizvoljnim smjerovima:



Sl.1 Element ortotropne ploče - tkanine

$$\frac{1}{E_\varphi} = \frac{\cos^4 \varphi}{E_x} + \frac{\sin^4 \varphi}{E_y} + \left( \frac{4}{E_{45^\circ}} - \frac{1}{E_x} - \frac{1}{E_y} \right) \cdot \cos^2 \varphi \cdot \sin^2 \varphi \quad (1)$$

Jednadžba (1) daje matematičku vezu između modula elastičnosti za bilo koji smjer djelovanja vlačne sile i  $E_x = E_{0^\circ}$ ,  $E_y = E_{90^\circ}$  i  $E_{45^\circ}$ .

Kut  $\varphi$  je kut između glavne osi x (smjer potke) i smjera djelovanja vlačne sile, sl.1). Vrijednosti modula elastičnosti  $E_{45^\circ}$ ,  $E_x$  i  $E_y$  dobiju se ispitivanjima u laboratoriju pri jednoosnom istezanju uzorka kada vlačne sile djeluju u smjerovima  $\varphi=0^\circ, 45^\circ, 90^\circ$ .

Pri djelovanju aksijalnih vlačnih sile  $F$  u proizvoljnim smjerovima dolazi do pojave normalnih naprezanja  $\sigma=F/A$  (MPa), koja se mijenjanju ovisno o smjeru djelovanja sile.  $A$  ( $\text{mm}^2$ ) je površina poprečnog presjeka na koju djeluje sila. Najveće vrijednosti tih aksijalnih sila pri kojima dolazi do prekida naslojenih tkanina su prekidne vlačne sile  $F_\varphi$  (N).

Zbog varijacije vrijednosti prekidnih sile  $F_\varphi$ , prekidnih istezanja  $\varepsilon_\varphi$  i rada do prekida  $W_\varphi$  u različitim smjerovima, definiraju se koeficijent anizotropije  $K_{AF}$ ,  $K_{AE}$ ,  $K_{AW}$  i  $K_{AE}$  za što preciznije određivanje stupnja anizotropije. Za izotropne materijale koeficijent anizotropije iznosi jedan ( $K_i=1$ ) što pokazuje da su fizikalno-mehanička svojstva, sile i čvrstoće u različitim smjerovima jednake. Kod anizotropnih materijala zbog varijacije fizikalno-mehaničkih svojstava materijala, prekidnih sile, itd. u različitim smjerovima vrijednost koeficijenta anizotropije raste i veća je od jedan ( $K_i>1$ ). Materijali kod kojih je anizotropija više izražena imaju veću vrijednost  $K_i$  (tj. raspon izmijerenih vrijednosti između najviše i najniže vrijednosti raste).

Kao pokazatelj anizotropije za prekidne sile tkanine  $K_{AF}$  koristi se izraz (2):

$$K_{AF} = \frac{F_{\varphi_{\max}}}{F_{\varphi_{\min}}} \quad (2)$$

gdje su  $F_{\varphi_{\max}}$  - najviša vrijednost prekidne sile,  $F_{\varphi_{\min}}$  - najniža vrijednost prekidne sile u istom uzorku tkanine.

Za preciznije određivanje anizotropije istezanja tkanine  $K_{AE}$  koristi se izraz (3):

$$K_{AE} = \frac{\varepsilon_{\varphi_{\max}}}{\varepsilon_{\varphi_{\min}}} \quad (3)$$

gdje su  $\varepsilon_{\varphi_{\max}}$  - maksimalno istezanje (%),  $\varepsilon_{\varphi_{\min}}$  - minimalno istezanje (%). Određivanje anizotropije rada do prekida  $K_{AW}$  je prikazano izrazom (4):

$$K_{AW} = \frac{W_{\varphi_{\max}}}{W_{\varphi_{\min}}} \quad (4)$$

gdje su  $W_{\varphi_{\max}}$  - maksimalan rad do prekida (Nm),  $W_{\varphi_{\min}}$  - minimalan rad do prekida (Nm).

Određivanje koeficijenta anizotropije za inicijalne module elastičnosti  $K_{AE}$  u proizvoljnim smjerovima je dano izrazom (5):

$$K_{AE} = \frac{E_{\varphi_{\max}}}{E_{\varphi_{\min}}} \quad (5)$$

gdje su  $E_{\varphi_{\max}}$  - maksimalan inicijalni modul elastičnosti (kPa),  $E_{\varphi_{\min}}$  - minimalan inicijalni modul elastičnosti (kPa).

### 3. Eksperimentalni dio

U eksperimentalnom dijelu rada izvedeni su pokusi rastezanja uzorka lanene tkanine i naslojenih tkanina pri statičkom opterećenju. Pri tom ispitivanju određene su veličine vlačnih sile i pripadna produljenja (istezanja) te su dobiveni podaci o prekidnim silama, prekidnim istezanjima i radu pri prekidu. U tu svrhu primijenjene su klasične metode i instrumenti za ispitivanje vlačnih svojstava tkanina. Pomoću rezultata ispitivanja izračunati su inicijalni moduli elastičnosti ovisno o smjeru djelovanja vlačne sile na uzorce te faktori anizotropije. Eksperiment je proveden mjeranjem deformacije sirove tkanine i naslojenih tkanina pri djelovanju vlačne sile do prekida i to za uzorce koji su izrezani u smjeru potke ( $\varphi=0^\circ$ ), u smjeru osnove ( $\varphi=90^\circ$ ), te pod kutovima  $15^\circ, 30^\circ, 45^\circ, 60^\circ, 75^\circ$ .

Provedenim eksperimentom se želi odrediti utjecaj naslojavanja i broj slojeva na stupanj anizotropije, veličinu modula elastičnosti, vrijednosti

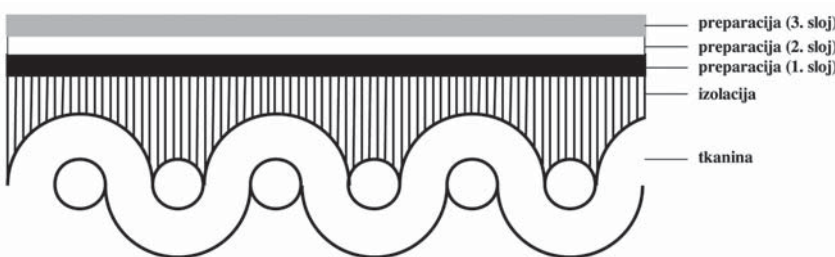
prekidnih sila, prekidnih istezanja i rada do prekida.

### 3.1. Postupci naslojavanja

U slikarskoj tehnologiji postoje tri osnovna jednakovrijedna elementa: bojilo, vezivo i podloga. Slika se stoji od podloge na koju je vezivom naneseno bojilo. Podloga je pripremljena površina koja je temelj na kojem počinje likovna gradnja. Sastoji se od nositelja slike (površine na koju je moguće slikati kao što je npr. platno, papir, staklo, itd.) i osnove (preparacije odnosno grunda; pripremljenog sloja koji se nanosi na nositelja slike). Lanena tkanina kao nositelj u slikarstvu traži određenu obradu, uključujući i specifičnu preparaciju. Negativni utjecaj celuloze i ostalih primješata u lanenom vlaknu (osim voska) na otpornost, postojanost i trajnost lanenog tkanja umanjuje se odgovarajućom pripremom nosioca i pravilnom zaštitom od utjecaja negativnih faktora. To se postiže adekvatnim izolacijama i preparacijama platna, koje mogu bitno utjecati na trajnost same slike te produžiti njen vijek.

S obzirom na to da je laneno platno kao nosilac kemijski aktivno, najprije se obrađuje metodom izolacije odnosno impregnacije čime se zaštićuje podloga, tj. niti platna od djelovanja veziva koje prodire iz bojila ili preparacije, (sl.2) [23-24]. Sve poroznije vrste nosilaca potrebno je prije nanošenja preparacije izolirati protiv prevelikog upijanja i zaštiti od negativnih svojstava nekih organskih veziva na materiju nositelja.

Osnova u slikarstvu (preparacija ili grund; pripremljeni sloj koji se nanosi na nositelj slike) je jedan od fundamentalnih elemenata štafelajske slike. Nanošenjem osnove ili preparacije u slikarstvu obrađuje se površina nositelja u nekoliko slojeva čime navedeni pripremljeni sloj fizički djeluje kao posrednik između nositelja i slikanog sloja radi osiguravanja stabilnosti sloja boje, zaštite od vanjskih utjecaja te od veziva iz bojila, a ujedno omogućava i čvršće vezivanje slikanog sloja. Sloj preparacije/osnove ili grund



Sl.2 Shematski prikaz slikarskog platna

se najčešće sastoji od veziva i punila. Nanosi se na nositelja slike te ima višestruku funkciju: uspostavljanje uvjeta za dobro vezanje bojila i veziva za podlogu (nositelj), izolacija poroznih nosilaca i zaštita od negativnih utjecaja pojedinih veziva iz slikanog sloja (ulja, smole itd.), regulacija upognosti veznog sredstva iz slikanog sloja te odgovarajuća bjelina odnosno obojenost. Trajnost platna, pa i slike ovisi o izboru punila i veziva, o njihovom pripređivanju i načinu izvedbe. Dobro preparirano platno kao slikarska podloga mora imati sljedeća svojstva: glatku površinu, dobru upojnost da bi se slojevi bojila i veziva dobro povezali s podlogom, savitljivost, elastičnost prepariranog platna i neutralnost prepariranog platna prema gornjim slojevima bojila [25].

Za izolaciju odnosno impregnaciju lanenog platna priprema se 500 ml 7%-tne tutkalne otopine za što je potrebno 35 g životinjskog tutkala i 500 ml vode.

**Postupak izolacije:** Kao izolator se koristi ono vezivo koje će se kasnije koristiti i kao vezivo preparacije - životinjsko tutkalo. U manjoj količini vode tutkalo bubri oko 8 sati, nakon čega se nabubreno tutkalo otapa na vodenoj kupelji na temperaturi od 45 °C. Platno se impregnira najčešće toplom tutkalnom otopinom (45 °C). Tutkaljenjem se niti platna zaštićuju od djelovanja veziva koje prodire iz bojila ili preparacije. Također, tutkalo učvršćuje i smanjuje utjecaj vlage na platno. Da tutkalo ne bi potpuno namočilo niti platna i previše ih nakon sušenja ukrutilo, platno se može prethodno navlažiti hladnom vodom. Za nemasne osnove; posne preparacije

koje su tradicionalna varijanta klasičnih preparacija, a prema starijim recepturama najčešće sadrže samo punilo i vezivo te eventualno bjelilo, dovoljan je jedan sloj izolacije. Za one koje sadrže ulje potrebna je bolja izolacija [25].

Za prepariranje/pripremu lanenog platna (tutkalno krednu preparaciju) potrebno je 35 g kožnog tutkala, 500 ml vode, 350 g punila (šampanjske krede, kalcijevog karbonata  $\text{CaCO}_3$ ) i 175 g bjelila (titanova bjelila) koji joj daju potrebnu gustoću, bjelinu, sposobnost upijanja i vezivanja bojila.

**Postupak prepariranja/pripreme lanenog platna:** U tutkalnu otopinu koja se već koristila za izolaciju zagrijanu na 45 °C postupno se dodaje punilo, najbolje pomoću sita, sve do onog trenutka dok na površini tutkalne otopine počne plivati tanki sloj punila. Ovako zasićena otopina punilom miruje neko vrijeme kako bi svi zračni mjehurići iz punila mogli izaći, a zatim se oprezno izmiješa i procijedi kroz gusto sito. Rupice na osušenom sloju preparacije mogu se pojaviti i zbog nanošenja prevrucne preparacije. Ova preparacija nanosi se mlakom metodom nanošenja. Prema želji, preparaciji se može dodati i bjelilo u omjeru s punilom 1:2. Nanose se tri sloja prerasacije. Nakon nanošenja prvog sloja kistom, platno se suši na zračnom mjestu. Prije stavljanja drugog nanosa, navlaži se mokrom spužvom da ne upije vezivo iz drugog sloja i time ga oslabi. Potezi drugog sloja nanose se u suprotnom smjeru (unakrsno) od poteza prvog sloja. Treći sloj se također nanosi u suprot-

nom smjeru od drugog sloja nakon sušenja istog [25].

### 3.2. Uzoreci za ispitivanje

Za provođenje ovog istraživanja na raspolažanju su bila četiri uzorka. Za istraživanje mehaničkih svojstava za izradu slikarskih platna odabrana je sirova tkanina (S0) platnenog veza, sirovinskog sastava 100 % lan, gustoća tkanine u smjeru osnove i potke iznosila je 15 niti/cm, finoća pređe je 100 tex, plošna masa tkanine je 262 g/m<sup>2</sup>, debljina tkanine je 0,51 mm. Nanošenjem izolacije i jednog sloja preparacije na sirovu tkaninu dobiva se uzorak za ispitivanje (S1) plošne mase 386 g/m<sup>2</sup> i debljine 0,76 mm. Zatim, nanošenjem na sirovu tkaninu izolacije i dva sloja preparacije pripremljen je uzorak za ispitivanje s označom (S2) plošne mase 421 g/m<sup>2</sup> i debljine 0,83 mm. I na kraju nanošenjem na sirovu tkaninu izolacije i tri sloja preparacije pripremljen je uzorak za ispitivanje s označom (S3) plošne mase 453 g/m<sup>2</sup> i debljine 0,89 mm. Finoća pređe određena je gravimetrijskom metodom prema normi HRN ISO 2060:1994. Gustoća tkanine ispitivana je prema normi HRN ISO 7211-2:1984. Određivanje debljina tkanine je definirano normom HRN ISO 5084:1996. Početno stanje uzoraka S0, S1, S2 i S3 za ispitivanje snimljeno je digitalnim mikroskopom Dino-Lite model AM4113T s povećanjem 50x uz reflektirano LED svjetlo, sl.3.

Za ispitivanje vlačnih svojstava izrezani su standardni uzorci dimenzija 300 x 50 mm, uklješteni u stezaljke uređaja na razmaku od 200 mm, te izloženi jednoosnom vlačnom opterećenju do postizanja prekida. Uzorci su rezani u sedam različitih smjerova: u smjeru potke ( $\phi=0^\circ$ ), smjeru osnove ( $\phi=90^\circ$ ), te pod kutovima  $15^\circ$ ,  $30^\circ$ ,  $45^\circ$ ,  $60^\circ$ ,  $75^\circ$  prema potki. Smjer djelovanja vlačne sile tijekom izvođenja pokusa je uvijek jednak. Za svaki navedeni smjer rezanja uzorka, provedeno je pet ispitivanja. Vlačna svojstva svih uzoraka ispitivana su prema HRN EN ISO 13934-1:2008

metodom ispitne trake na uređaju za mjerjenje čvrstoće tkanine, tj. na dinamometru.

Za ispitivanje korišten je dinamometar Statimat M njemačkog proizvođača Textechno. Dinamometar Statimat M je potpuno automatizirani, mikroprocesorski upravljeni staticki dinamometar koji radi na principu konstantne brzine deformacije. Kod ispitivanja postavljeni su sljedeći uvjeti: razmak između stezaljki: 200 mm, brzina povlačenja: 100 mm/min.

### 3.3. Prikaz rezultata ispitivanja

Dijagrami sila-istezanja ( $F-\varepsilon$ ) srednjih vrijednosti rezultata ispitivanja djelovanja vlačne sile  $F$  i pripadne uzdužne deformacije (istezanja)  $\varepsilon$  za uzorke koji su izrezani pod kutovima  $0^\circ, 15^\circ, 30^\circ, 45^\circ, 60^\circ, 75^\circ$  i  $90^\circ$  u odnosu na smjer potke prikazani su na sl.4-7.

Također je mjereno i bočno suženje tkanine pri prekidu [26]. Srednje vrijednosti prekidne sile  $F_\phi$  (N), pripadnog prekidnog istezanja  $\varepsilon_\phi$  (%), suženja kod prekida  $\varepsilon_p$  (%) i rada do prekida  $W_\phi$  (Nm) za različite smjerove rezanja uzorka S0, S1, S2 i S3 prikazane su u tab.1.

Polarni dijagram je dvodimenzionalni koordinatni sustav u kojem je svaka točka određena pomoću udaljenosti od fiksne točke (pola 0) i kutom od odabranog fiksnog smjera. Udaljenost od pola naziva radikalna koordinata ili radius, a kut je kutna koordinirata, tj. polarni kut. Radikalne koordinate predstavljaju srednje vrijednosti prekidne vlačne sile, prekidnog istezanja, prekidnog suženja i rada do prekida ovisno o smjeru rezanja uzorka.

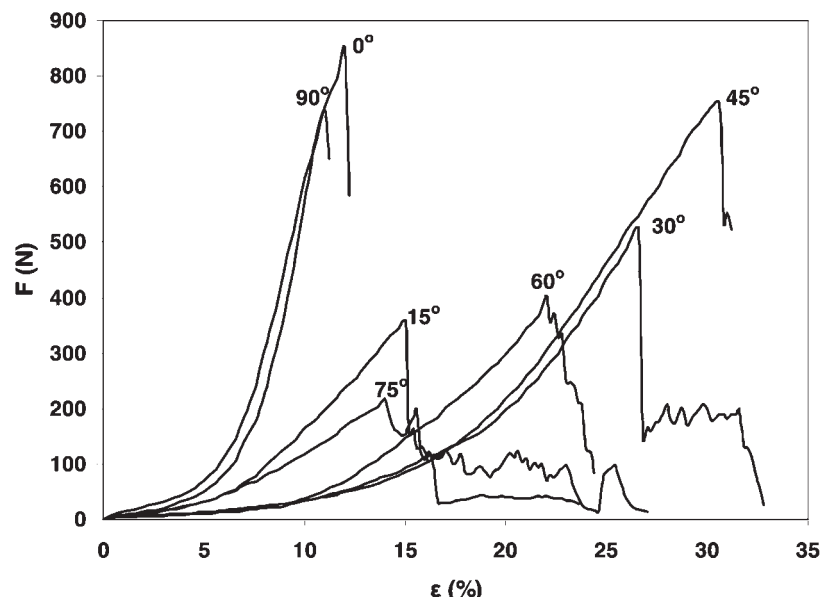
Na sl.8 su polarnim dijagrame prikazane srednje vrijednosti uzdužne deformacije (prekidnog istezanja)  $\varepsilon_\phi$  i poprečne deformacije (prekidnog bočnog suženja)  $\varepsilon_p$  u ovisnosti o smjeru rezanja uzorka. Vrijednosti poprečne deformacije (prekidnog suženja) su uvijek suprotnog predznaka od vrijednosti uzdužne deformacije (prekidnog istezanja).

Svi ispitani uzroci imaju najveće produljenje i najveće suženje kada su uzorci rezani pod kutom  $\varphi=45^\circ$  u odnosu na smjer potke, sl.8. Vrijednosti prekidnog istezanja i prekidnog suženja uzorka, sl. 8a i sl.8b, povećavaju se od smjera potke ( $\varphi = 0^\circ$ ) u kutu od  $15^\circ$ , a nakon tog kuta vrijednosti prekidnog istezanja brzo rastu i imaju maksimalnu vrijednost pri kutu  $45^\circ$ . S daljnjim povećanjem kuta  $\varphi$ , vrijednosti  $\varepsilon_\phi$  brzo padaju od kuta  $45^\circ$

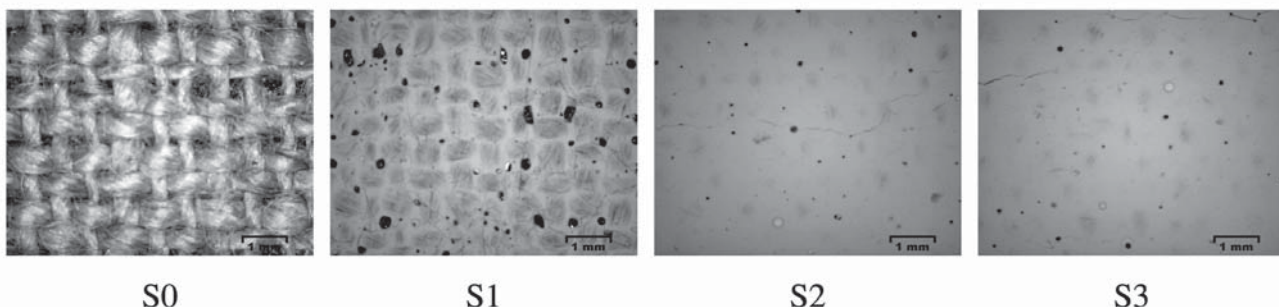
prema kutu od  $75^\circ$  stupnjeva. Nakon toga kuta, prekidno istezanje se neznatno smanjuje do smjera osnove ( $\varphi = 90^\circ$ ).

Polarnim dijagrame, (sl.9a), prikazane su varijacije srednjih vrijednosti veličina prekidnih sila  $F_\phi$  u ovisnosti o kutu rezanja uzorka, a na sl.9b polarnim dijagrame je dan prikaz rada do prekida  $W_\phi$  u ovisnosti o kutu rezanja uzorka u odnosu na smjer potke.

S porastom broja slojeva na temeljnu tkaninu rastu vrijednosti prekidnog izduženja, prekidnog suženja, prekidnih sila i rada do prekida. Smjer (kut) rezanja uzorka utječe na veličinu prekidne sile. Najveća vrijednost prekidne sile za sve uzorke je kada su uzorci izrezani u smjeru potke  $\varphi=0^\circ$ , zatim u smjeru osnove  $\varphi=90^\circ$ . To se



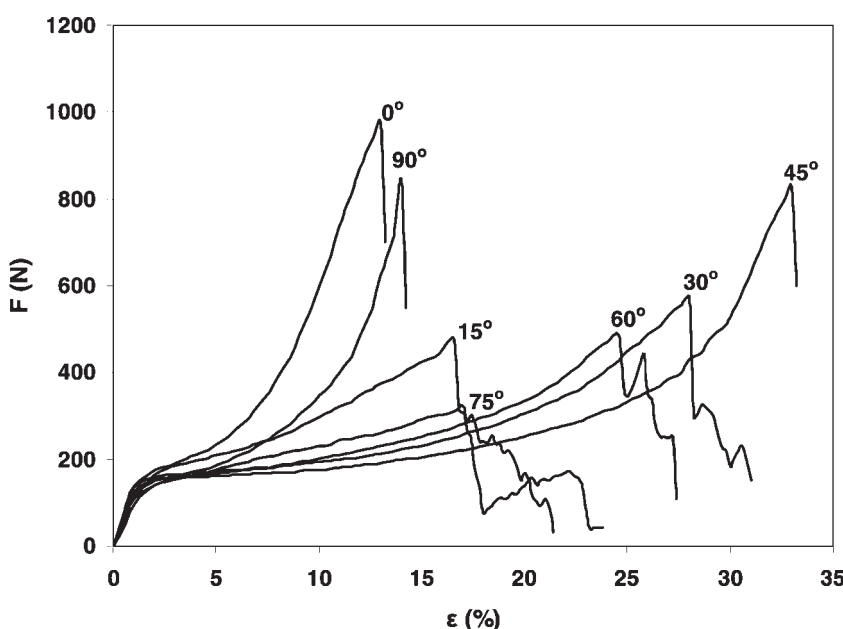
Sl.4 Dijagram F-ε (sila-istezanje) za uzorak S0



Sl.3 Početno stanje uzoraka uz povećanje 50x

Tab.1 Srednje vrijednosti prekidnog istezanja, suženja kod prekida, prekidne vlačne sile i rada do prekida

$\phi^{\circ}$	S0				S1				S2				S3			
	$\varepsilon_{\varphi}$	$\varepsilon_p$	$F_{\varphi}$	$W_{\varphi}$												
0	12,1	2,0	851,6	6,2	12,8	3,0	971,3	9,0	14,2	3,9	1162,6	10,6	15,9	4,9	1319,3	12,1
15	14,9	5,0	357,9	1,2	16,3	5,9	470,2	4,2	17,7	6,9	556,6	7,3	18,8	8,8	634,8	9,4
30	26,1	23,6	520,4	6,8	28,1	25,8	567,2	11,9	29,0	27,6	642,3	15,2	32,0	29,9	712,6	20,0
45	30,5	28,5	749,1	12,5	33,1	32,4	823,6	22,2	34,3	34,5	918,5	27,3	37,7	37,9	1000,2	29,7
60	21,6	19,7	403,6	4,2	24,5	21,8	483,5	7,8	28,5	25,9	593,7	16,8	31,2	28,5	654,1	19,4
75	14,1	4,0	212,2	3,2	16,8	5,9	318,9	7,0	18,5	7,9	464,4	10,0	21,3	12,0	581,3	14,5
90	10,9	2,0	761,0	6,7	13,7	3,0	836,1	10,1	16,0	4,9	928,7	13,1	17,0	5,9	1081,1	15,3



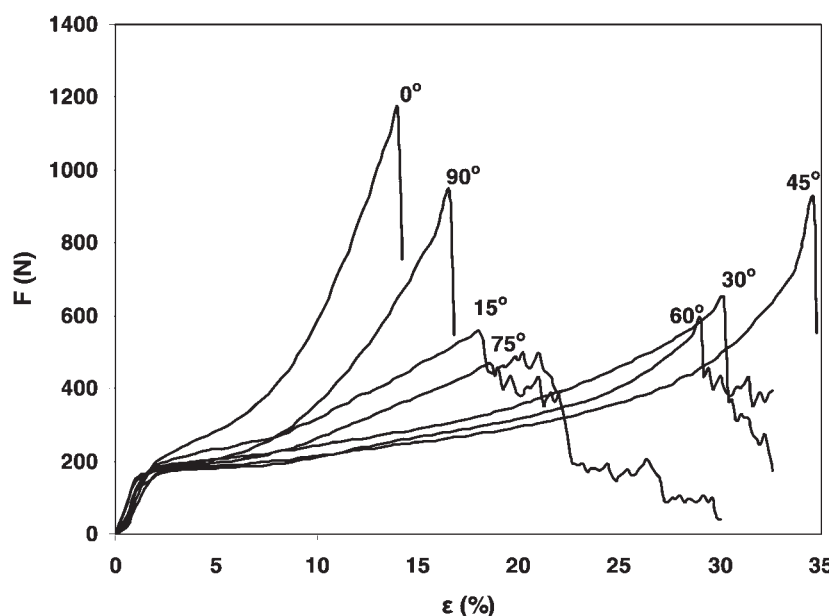
Sl.5 Dijagram F-ε (sila-istezanje) za uzorak S1

objašnjava time što se kod tkanja osnovine niti više napinju nego potkine niti, (sl.9a). Veličine prekidnih sile za ispitivane uzroke koji su rezani u drugim smjerovima u odnosu na potku su manje, jer se broj niti koje su istovremeno zahvaćene u obje stezaljke dinamometra smanjuje. Za komplementarne kutove  $15^\circ$  i  $75^\circ$  vrijednosti prekidne sile su manje nego za komplementarne kutove  $30^\circ$  i  $60^\circ$ , jer se smjer djelovanja sile i uklještenih niti gotovo podudara, dakle niti se izvlače gotovo pravocrtno. Za kut  $45^\circ$  prekidna sila se povećava u odnosu na kutove  $15^\circ$ ,  $30^\circ$ ,  $60^\circ$  i  $75^\circ$  jer se smjer sile ne podudara sa smjerom niti pa je zbog toga potrebna veća sila.

Rad do prekida  $W_{\varphi}$  izračunat je da bi se karakterizirala prekidna svojstva uzorka u području veće deformacije. Iz rezultata prikazanih na sl.9b vidljivo je da su najveće vrijednosti rada do prekida za uzorke S2 i S3. Za uzorak S0 je potrebno utrošiti najmanje energije, ima najmanji rad do prekida i najslabija je za preuzimanje vlačne sile.

Na temelju eksperimentalno dobivenih vrijednosti prekidnih sile  $F_{\varphi}$ , prekidnog istezanja  $\varepsilon_{\varphi}$  i rada do prekida  $W_{\varphi}$  iz tab.1 i pomoću izraza (2), (3) i (4) izračunati su koeficijenti anizotropije prekidnih sile  $K_{Af}$ , prekidnog istezanja i suženja  $K_{Ac}$  i rada do prekida  $K_{Aw}$  čije su vrijednosti prikazane u tab.2.

Prema rezultatima u tab.2 najveće koeficijente anizotropije  $K_{Aep}$ ,  $K_{Aep}$ ,  $K_{Af}$ ,  $K_{Aw}$  ima uzorak S0 i on se smanjuje s brojem nanesenih slojeva.



Sl.6 Dijagram F-ε (sila-istezanje) za uzorak S2

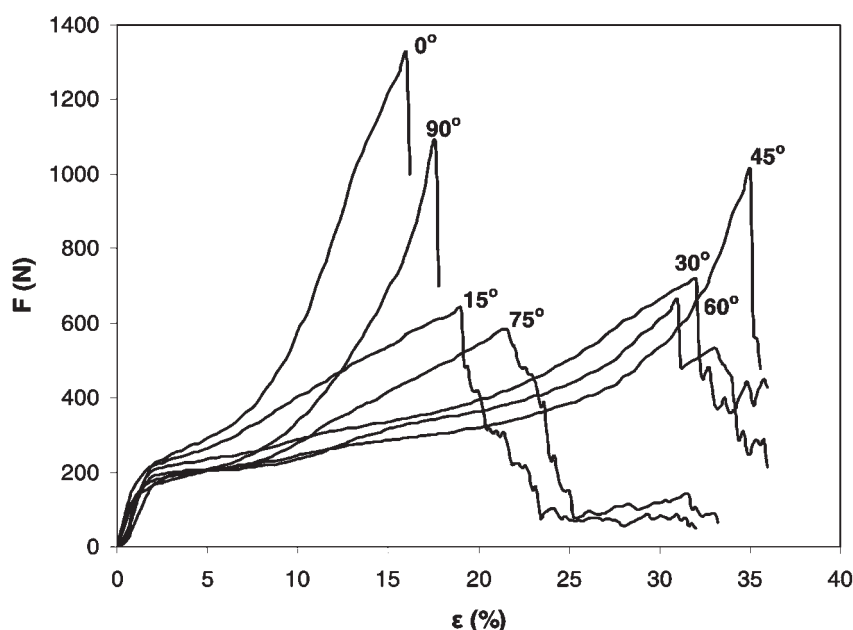
Na sl.10 je prikazano stanje ispitanih uzoraka S0, S1, S2 i S3 neposredno nakon prekida uz povećanje 50x kada su uzorci izrezani u smjeru potke ( $\varphi=0^\circ$ ), pod kutom od  $45^\circ$  i u smjeru osnove ( $\varphi=90^\circ$ ). Pukotine nanesenog sloja u smjeru potke ( $\varphi=0^\circ$ ) i u smjeru osnove ( $\varphi=90^\circ$ ) su uvijek okomite na smjer djelovanja sile, a pod kutom od  $45^\circ$  pukotine nanesenog sloja su nedefiniranog smjera zbog promjene vrijednosti kuta križanja između sustava niti osnove i potke. Kod iste-

zanja uzorka u smjeru koji nije po osnovi ili potki, niti na početnom stupnju pokazuju posmično naprezanje. Svi ispitani uzorci imali su mjesto prekida u sredini uzorka ili uz

klemu pa je stanje uzorka mikroskopski snimljeno na udaljenosti  $1/4$  uklještene duljine uzorka od donje kleme.

Tab.2 Koeficijenti anizotropije za eksperimentalno dobivene vrijednosti prekidnog istezanja  $\varepsilon_{\varphi}$ , prekidnog suženja  $\varepsilon_p$ , prekidne sile  $F_{\varphi}$  i rada do prekida  $W_{\varphi}$

Oznaka uzorka	$K_{A_{\varphi\varphi}}$	$K_{A_{\varphi p}}$	$K_{A_F}$	$K_{AW}$
S0	2,79	14,48	4,01	10,37
S1	2,58	10,93	3,05	5,35
S2	2,42	8,76	2,50	3,74
S3	2,38	7,67	2,27	3,15



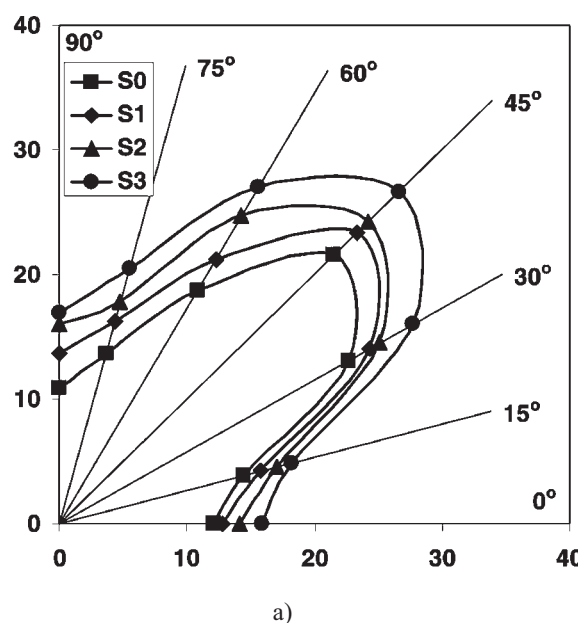
Sl.7 Dijagram F-ε (sila-istezanje) za uzorak S3

#### 4. Određivanje inicijalnih modula elastičnosti

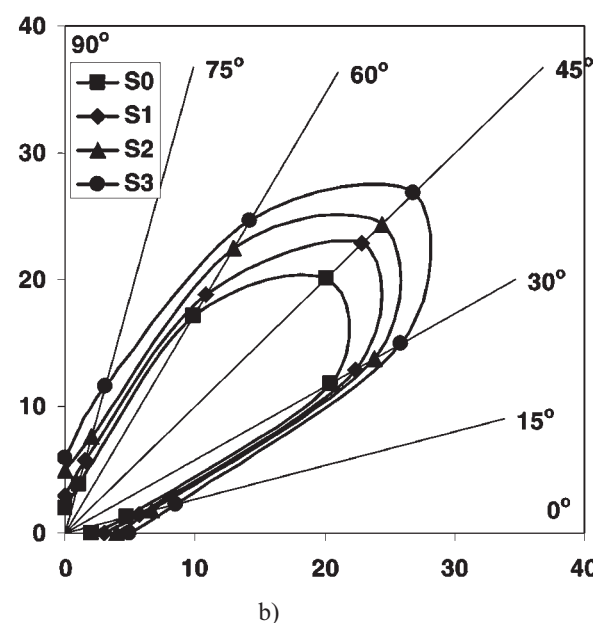
Na temlju eksperimentalno dobivenih krivulja sila-istezanje dobivene su vrijednosti inicijalnih modula elastičnosti koje će se usporediti s pripadnim računskim vrijednostima, te izračunati odstupanje u postocima.

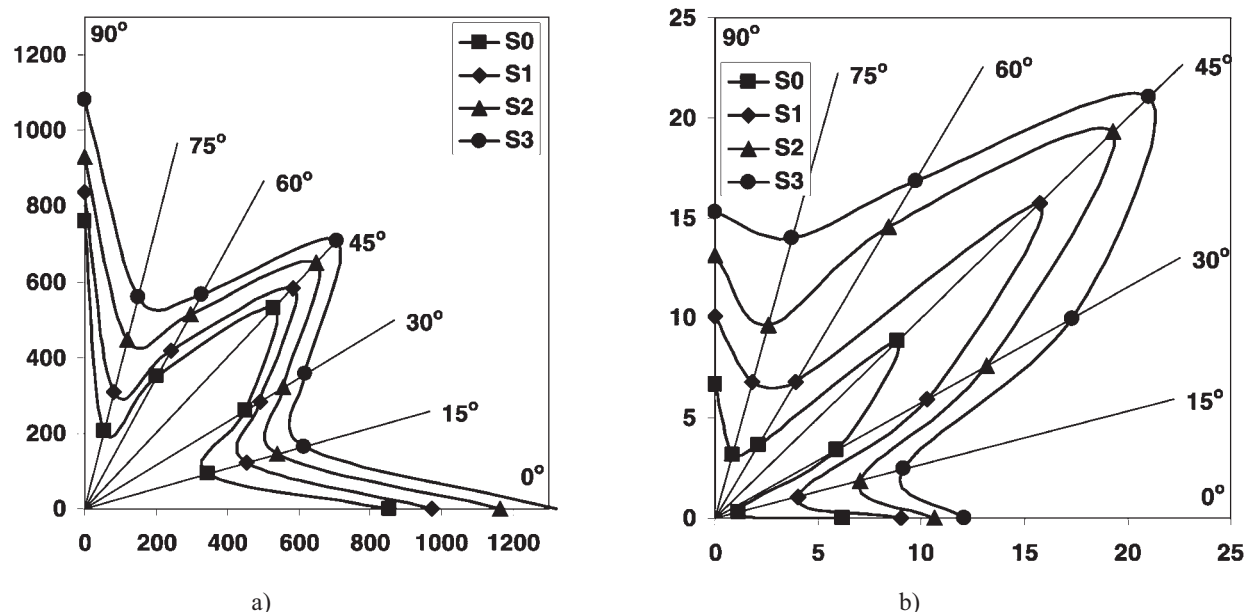
##### 4.1. Eksperimentalne vrijednosti inicijalnih modula elastičnosti

Iz prikazanih dijagrama, (sl.4-7) koriste se vrijednosti vlačne sile u elastičnom linearном području. Inicijalni modul elastičnosti  $E_{\varphi}$  određen je iz prvog linearog područja na krivulji sila-istezanje ( $F-\varepsilon$ ) koje se određuje praćenjem eksperimentalnih podataka pomoću regresijske kontrolne

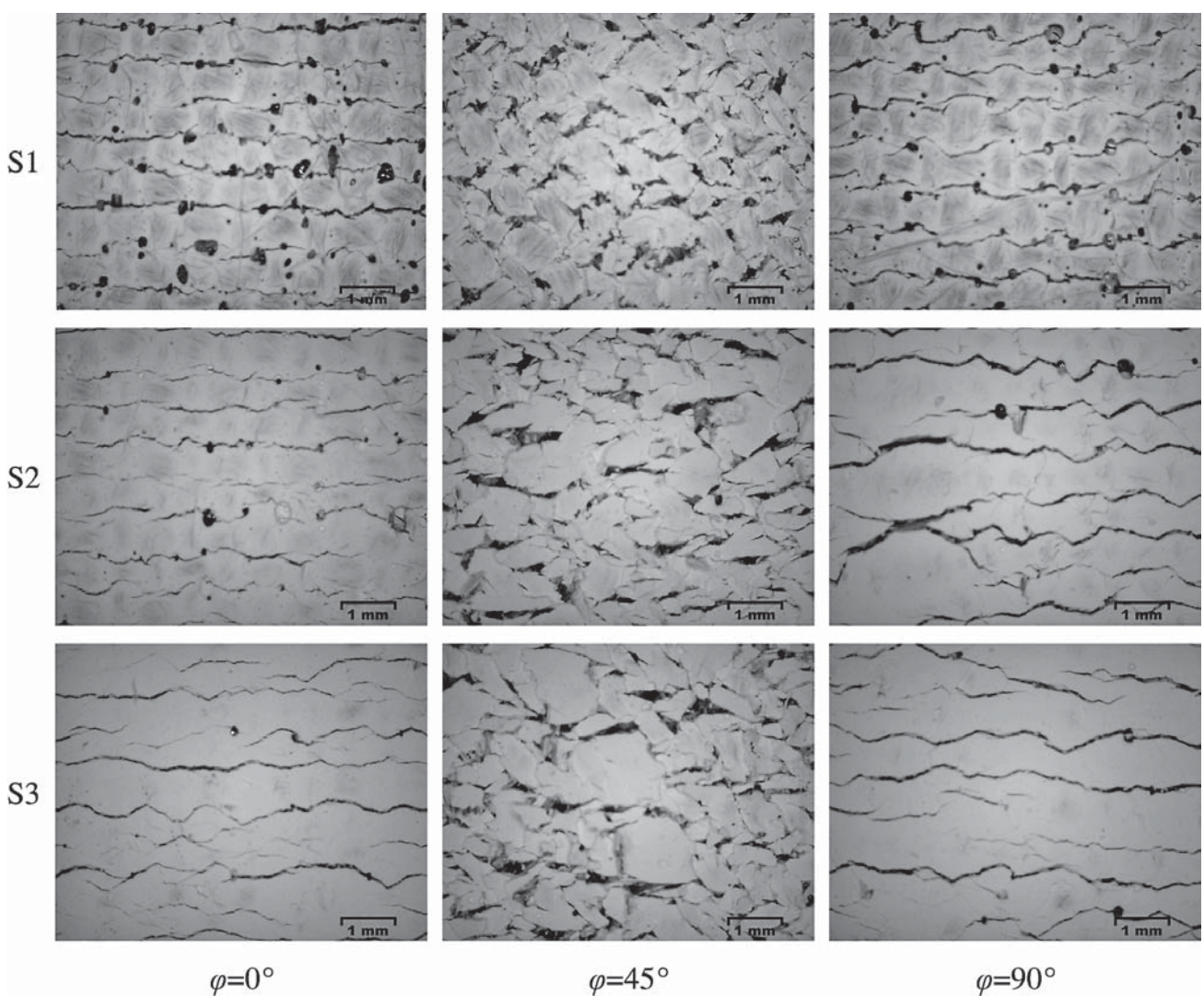


Sl.8 Polarni dijagram: a) prekidno istezanje uzorka  $\varepsilon_{\varphi}$  (%) u ovisnosti o kutu djelovanja sile





Sl.9 Polarni dijagram: a) prekidne sile  $F_\phi$  (N), b) rada do prekida  $W_\phi$  (Nm) u ovisnosti o kutu djelovanja sile



Sl.10 Stanje uzoraka S0, S1, S2, S3 neposredno nakon prekida uz povećanje 50x izrezanih pod kutovima  $0^\circ$ ,  $45^\circ$ ,  $90^\circ$

karte, odnosno pravca regresije [27]. U tom području linearan je odnos sile, odnosno naprezanja i istezanja. Inicijalni modul elastičnosti  $E_\varphi$  definira se kao nagib krivulje naprezanje-istezanje u linearном području elastičnih deformacija gdje vrijedi Hookeov zakon za jednoosno stanje naprezanja [28].

$$E_\varphi = \tan \alpha = \frac{F}{\varepsilon \cdot b \cdot d} \quad [Pa] \quad (6)$$

gdje je  $b$ -širina (mm), a  $d$ -debljina uzorka (mm).

Koristeći vrijednosti  $F$  i  $\varepsilon$  u elastičnom području i izraz (6) izračunavaju se srednje vrijednosti inicijalnih modula elastičnosti  $E_\varphi$  u odnosu na proizvoljni smjer rezanja uzorka. Na krivulje naprezanje-istezanje ( $\sigma$ - $\varepsilon$ ) u elastičnom području, tj. u linearnom dijelu postave se linearne regresijske jednadžbe [21, 22, 28]. Nagib krivulje, odnosno koeficijent smjera pravca predstavlja modul elastičnosti  $E_\varphi$ .

Eksperimentalno dobivene vrijednosti modula elastičnosti  $E_\varphi$  u ovisnosti o promjeni kuta rezanja uzorka u odnosu na smjer potke dane su u tab.3, a grafički su prikazane za svakih  $15^\circ$  polarnim dijagramom na sl.11.

Eksperimentalne vrijednosti modula elastičnosti  $E_\varphi$  se povećavaju s brojem nanesenih slojeva. Za uzorak S0 najveći moduli elastičnosti su u smjeru osnove i potke. Razlike između vrijednosti  $E_\varphi$  za uzorce S1, S2 i S3 u različitim smjerovima se smanjuju. Najmanja razlika između vrijednosti modula elastičnosti  $E_\varphi$  u različitim smjerovima je za uzorak S3, koji ima najveći broj slojeva na sirovom platnu.

#### 4.2. Računske vrijednosti inicijalnih modula elastičnosti

Na temelju eksperimentalnih vrijednosti  $E_{0^\circ} = E_x$ ,  $E_{90^\circ} = E_y$  i  $E_{45^\circ}$  iz tab.3 i

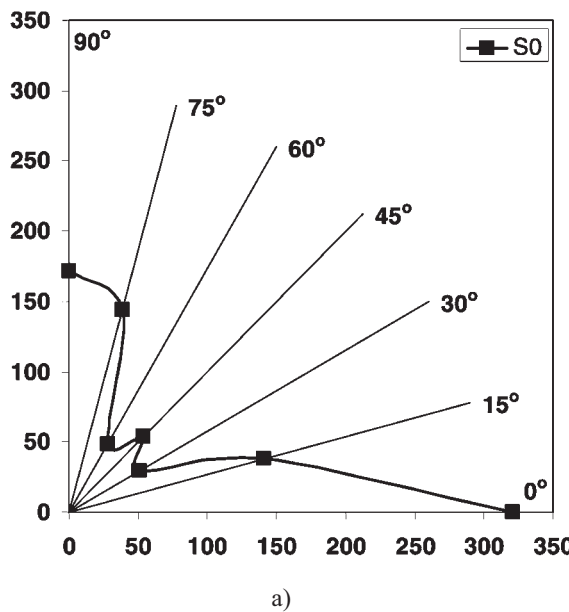
pomoću izraza (1) izračunate su vrijednosti modula elastičnosti  $E_\varphi$  u ovisnosti o promjeni kuta rezanja uzorka S0, S1, S2 i S3 u odnosu na potku. U tab.4 prikazane su računski dobivene vrijednosti modula elastičnosti za različite kute rezanja uzorka ( $0^\circ$ ,  $15^\circ$ ,  $30^\circ$ ,  $45^\circ$ ,  $60^\circ$ ,  $75^\circ$  i  $90^\circ$ ).

Polarni dijagram računskih vrijednosti modula elastičnosti  $E_\varphi$  (kPa) za svakih  $5^\circ$  je prikazan na sl.12.

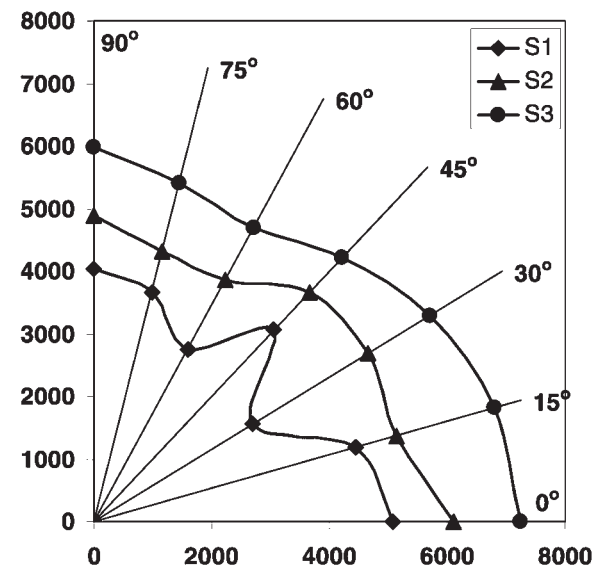
U tab. 5 su prikazana odstupanja u postocima između eksperimentalnih vrijednosti (tab.3) i računskih vrijednosti (tab.4) inicijalnih modula elastičnosti  $E_\varphi$ . Odstupanja  $D$  (%) su izračunata prema izrazu (7):

$$D = \frac{E_{\varphi,eks} - E_{\varphi,rac}}{E_{\varphi,eks}} \cdot 100 \quad (\%) \quad (7)$$

U smjeru osnove ( $90^\circ$ ), potke ( $0^\circ$ ) i pod kutom  $d$   $45^\circ$  razlike u postocima između eksperimentalnih i računskih vrijednosti inicijalnih modula



a)

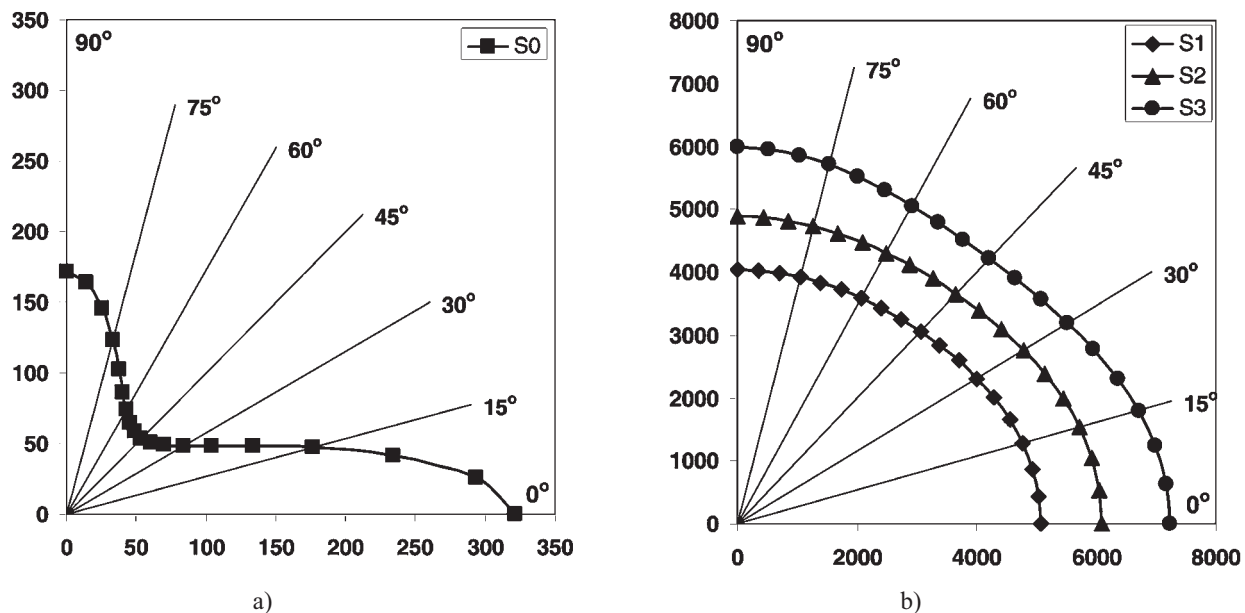


b)

Sl.11 Polarni dijagram: eksperimentalne vrijednosti modula elastičnosti  $E_\varphi$  (kPa) za svakih  $15^\circ$ : a) S0, b) S1, S2, S3

Tab.3 Eksperimentalno dobivene vrijednosti modula elastičnosti  $E_\varphi$  (kPa)

Oznaka uzorka	$E_{0^\circ}$	$E_{15^\circ}$	$E_{30^\circ}$	$E_{45^\circ}$	$E_{60^\circ}$	$E_{75^\circ}$	$E_{90^\circ}$
S0	321,2	145,8	59,3	75,8	56,3	149,3	171,1
S1	5082,3	4594,4	3109,8	4331,5	3186,4	3794,6	4036,4
S2	6099,4	5313,9	5368,6	5168,1	4464,2	4477,4	4885,7
S3	7238,1	7035,1	6577,1	5952,7	5414,0	5598,8	5984,9


 Sl.12 Polarni dijagram: računske vrijednosti modula elastičnosti  $E_\phi$  (kPa) za svakih 5°: a) S0, b) S1, S2, S3

 Tab.4 Računske vrijednosti modula elastičnosti  $E_\phi$  (kPa)

Oznaka uzorka	$E_{0^\circ}$	$E_{15^\circ}$	$E_{30^\circ}$	$E_{45^\circ}$	$E_{60^\circ}$	$E_{75^\circ}$	$E_{90^\circ}$
S0	321,2	182,7	96,8	75,8	85,5	127,6	171,1
S1	5082,3	4942,4	4630,3	4331,5	4141,5	4057,1	4036,4
S2	6099,4	5918,1	5524,4	5168,1	4965,7	4896,1	4885,7
S3	7238,1	6947,4	6372,8	5952,7	5834,9	5917,4	5984,9

 Tab.5 Odstupanja  $D$  u (%) između eksperimentalnih i računskih vrijednosti  $E_\phi$ 

Oznaka uzroka	$0^\circ$	$15^\circ$	$30^\circ$	$45^\circ$	$60^\circ$	$75^\circ$	$90^\circ$
S0	0	-25,28	-63,38	0	-52,00	14,54	0
S1	0	-7,57	-48,89	0	-29,97	-6,92	0
S2	0	-11,37	-2,90	0	-11,23	-9,35	0
S3	0	1,25	3,11	0	-7,78	-5,69	0

 Tab.6 Koeficijenti anizotropije za eksperimentalno i računski dobivene vrijednosti  $E_\phi$ 

Oznaka uzorka	$K_{AE} - \text{exp.}$	$K_{AE} - \text{rač.}$
S0	5,71	4,24
S1	1,63	1,26
S2	1,37	1,25
S3	1,34	1,24

elastičnosti  $E_\phi$  su 0%. To slijedi iz jednadžbe (1) zbog periodičnosti funkcija sin i cos. Negativne vrijednosti odstupanja pokazuju da su dobivene računske vrijednosti  $E_\phi$  veće od eksperimentalnih vrijednosti  $E_\phi$ . S porastom broja slojeva se smanjuju odstupanja između eksperimentalnih i računskih vrijednosti  $E_\phi$  i za uzorak S3 odstupanja su minimalna. Vrijednosti koeficijenta anizotropije modula elastičnosti  $K_{AE}$  izračunate su

pomoću eksperimentalno i računski dobivenih vrijednosti inicijalnih modula elastičnosti  $E_\phi$  iz tab.3 i tab.4 pomoću izraza (5) i prikazane su u tab.6.

Koeficijent anizotropije modula elastičnosti  $K_{AE}$  se smanjuje s povećanjem broja slojeva. Kada se smanjuje anizotropnost materijala, vrijednosti modula elastičnosti  $E_\phi$  leže na krivulji koja se približava četvrtini kruga, što je karakteristika izotropnih

materijala, (sl.12 i 13). Dakle, s promjenom broja slojeva mijenjaju se mehaničke karakteristike materijala. S porastom broja slojeva rastu vrijednosti modula elastičnosti, prekidne sile, prekidno istezanje i rad do prekida.

## 5. Zaključak

Slikarsko platno je naslojeni materijal koji se može definirati kao ortotropni materijal za koji se u elastičnom području može primijeniti Hookeov zakon za anizotropno ponašanje materijala pri proračunu modula elastičnosti kada vlačna sila djeluje na uzorce koji su rezani u proizvoljno odabranim smjerovima u odnosu na potku. Mehanička svojstva tekstilnog materijala se značajno poboljšavaju

nanošenjem više slojeva premaza. Stoga, slikarsko platno ima značajno poboljšana svojstva u odnosu na prvo bitni temeljni materijal. Koeficijenti anizotropije modula elastičnosti, prekidnih sila, prekidnog istezanja i rada do prekida se smanjuju s povećanjem broja slojeva. Može se zaključiti da se s povećanjem broja nanešenih slojeva smanjuje anizotropnost materijala i slikarsko platno poprima karakteristike izotropnog materijala. Vrijednosti modula elastičnosti, prekidnih sila, prekidnog istezanja i rada do prekida se povećavaju s porastom broja slojeva.

Rezultati dobiveni ovim ispitivanjima samo su početna istraživanja prekidnih svojstava naslojenih tkanina i primjenjivosti teorijskih jednadžbi za izračunavanje inicijalnih modula elastičnosti, koja mogu pomoći u predviđanju ponašanja takvih tkanina kod rastezanja.

#### Literatura:

- [1] Cornelius F.D.: Movement of wood and canvas for paintings in response to high and low RH cycles, *Studies in Conservation* 12 (1967) 76-79
- [2] Kovar R., B.S. Gupta: Study of the Anisotropic Nature of the Rupture Properties of a Plain Woven Fabric, *Textile Research Journal*, 79 (2009) 6, 506-516
- [3] Clulow E.E., H.M. Taylor: An experimental and theoretical investigation of biaxial stress-strain relations in a plain-weave cloth, *Journal of the Textile Institute* 54 (1963) T323-T347
- [4] Hedley G.: The stiffness of lining fabrics: theoretical and practical considerations in ICOM Committee for Conservation 6th Triennial Meeting, Ottawa (1981) 81/2/2-13
- [5] Peirce F. T.: The geometry of cloth structure, *Journal of the Textile Institute* 28 (1937) T45-T96
- [6] Kawabata S.: The finite-deformation theory of plain weave fabrics, Part 1: The biaxial deformation theory, *Journal of the Textile Institute* 64 (1973) 1, 137-149
- [7] Hearle J.W.S. et al.: *Structural Mechanics of Yarns and Fabrics*, Wiley-Interscience, New York (1969)
- [8] Greenwood K.: *Weaving: Control of Fabric Structure*, Merrow Technical Library, Shildon (1975)
- [9] Warren W.E.: The elastic properties of woven polymeric fabric, *Polymer Engineering Science* 30 (1990) 1309
- [10] Pan N.: Analysis of woven fabric strengths: prediction of fabric strength under uniaxial and biaxial extensions, *Composites Science and Technology* 56 (1996) 311-327
- [11] Kilby W. F.: Planar Stress-strain Relationship in Woven Fabrics, *Journal of the Textile Institute* 54 (1963) T9-T27
- [12] Masters J.E., F. Ko: Guest editorial, *Composites Science and Technology* 56 (1996) 205-207
- [13] Zweben C.: Mechanical Behaviour and Properties of Composite Materials, Vol.1, Technical (1989)
- [14] Young C.R.T., R.D. Hibberd: Biaxial tensile testing of paintings on canvas, *Studies in Conservation* 44 (1999) 129-141
- [15] Russell W.H., G.A. Berger: The behaviour of canvas as a structural support for painting, *Science and Technology in the Service of Conservation*, IIC, London (1982) 139-145
- [16] Hedley G.: Relative humidity and the stress/strain response of canvas paintings: uniaxial measurements of naturally aged samples, *Studies in Conservation* 33 (1988) 133-148
- [17] Michalski S.: Paintings-their response to temperature, relative humidity, shock, and vibration. *Art in Transit.: Studies in the Transport of Paintings*, ed. M.F. Mecklenburg, National Gallery of Art, Washington (1991) 223-249.
- [18] Zheng J.: Measuring Technology of the Anisotropic Tensile Properties of Woven Fabrics, *Textile Research Journal* 78 (2008) 12, 1116-1123
- [19] Zouari R. et al.: Experimental and numerical analyses of fabric off-axes tensile test, *The Journal of The Textile Institute* 101 (2010) 1, 58-68
- [20] Bassett R.J. et al.: Experiment Methods for Measuring Fabric Mechanical Properties: a Review and Analysis, *Textile Research Journal* 69 (1999) 11, 866-875
- [21] Penava Ž., Šimić D.: Analysis of the elastic constants of woven fabrics for at random chosen extension directions. *Tekstil* 61 (2012.) 169-179
- [22] Penava Ž. et al.: Determination of the Elastic Constants of a Plain Woven Fabrics by Tensile Test in Various Directions. *FIBRES & TEXTILES in Eastern Europe* 22 (2014) 57-63
- [23] Turinski Ž.: *Slikarska tehnologija*, Turistička štampa, Beograd, 1976.
- [24] Fressl I.: *Slikarska tehnologija*, Radionice škole primijenjene umjetnosti, Zagreb, 1966.
- [25] Kraigher-Hozo M.: *Slikarstvo/Metode slikanja/ Materijali*, Svjetlost, Sarajevo, 1991., ISBN 86-01-01812-2
- [26] Penava Ž. et al.: Istraživanje utjecaja utkanja osnove i potke na Poissonov koeficijent tkanine. *Tekstil* 63 (2014.) 7-8, 217-227
- [27] Ozkul B, D. Karaoglan: Regression control chart for determination of Young's modulus: A case study, *Scientific Research and Essays* 6 (2011) 30, 6393-6403
- [28] Penava Ž. et al.: Utjecaj anizotropije i finoće pređe na modul elastičnosti kulirnog desno-desnog pletiva, *Tekstil* 63 (2014.) 9-10, 283-292

## SUMMARY

### Influence of preparing painting canvas on the elastic modulus and tensile properties at the action of tensile force

Ž. Penava, D. Šimić Penava<sup>1</sup>, M. Tkalec

Canvases are coated fabrics whose mechanical properties are substantially improved in comparison with the basic textile material. This work will present the experimental testing and determining of the mechanical properties of canvas. Four samples were tested under tensile force at the angles of 0°, 15°, 30°, 45°, 60°, 75° and 90°. The fabrics were tested before the coating, as well as after one, two and three coatings. Breaking forces, elongation at break, breaking energy, elasticity module and anisotropy degree of textile coated fabrics were determined. It is demonstrated that by adding the number of applied coatings, the values of breaking forces, elongation at break, breaking energy and elasticity modules were increased, while simultaneously anisotropy coefficients were decreased. Anisotropic properties of coated fabric with multiple layers are decreased, while isotropic properties are increased. This work compares experimental and theoretical elasticity module values and their difference is reduced with the addition of coatings.

**Key words:** anisotropy, breaking force, elongation at break, elasticity module, painting canvas

*University of Zagreb, Faculty of Textile Technology*

<sup>1</sup>*University of Zagreb, Faculty of Civil Engineering*

*Zagreb, Croatia*

*e-mail: zeljko.penava@ttf.hr*

*Received October 3, 2014*

### Einfluss der Vorbereitung der Leinwände auf den Elastizitätsmodul und Zugfestigkeitseigenschaften bei der Zugkrafeinwirkung

Leinwände sind beschichtete Gewebe, deren mechanische Eigenschaften im Vergleich zu dem Textilträgermaterial deutlich verbessert sind. Die Arbeit stellt experimentelle Untersuchungen und die Ermittlung von mechanischen Eigenschaften der Leinwand dar. Vier unter den Winkeln von 0°, 15°, 30°, 45°, 60°, 75° und 90° zugeschnittene Probestücke in Bezug auf die Schussrichtung wurden untersucht. Gewebe wurden vor der Beschichtung und nach einer, zwei und drei Beschichtungen gemessen. Reißkraft, Reißdehnung und Zusammenziehen, Reißarbeit, Elastizitätsmodule und Anisotropiegrad von beschichteten Textilflächengebilden wurden untersucht. Es hat sich gezeigt, dass als Folge der Erhöhung der Anzahl der Schichten Reißkraft, Reißdehnung, Reißarbeit und Elastizitätsmodule erhöht werden, während die Anisotropie-Koeffizienten gleichzeitig absinken. Anisotropieeigenschaften des mit mehreren Schichten beschichteten Gewebes werden vermindert, während Isotropeeigenschaften steigen. Im Artikel werden experimentelle und theoretische Werte des Elastizitätsmoduls verglichen, und ihr Unterschied wird mit der Erhöhung der Schichtanzahl verringert